

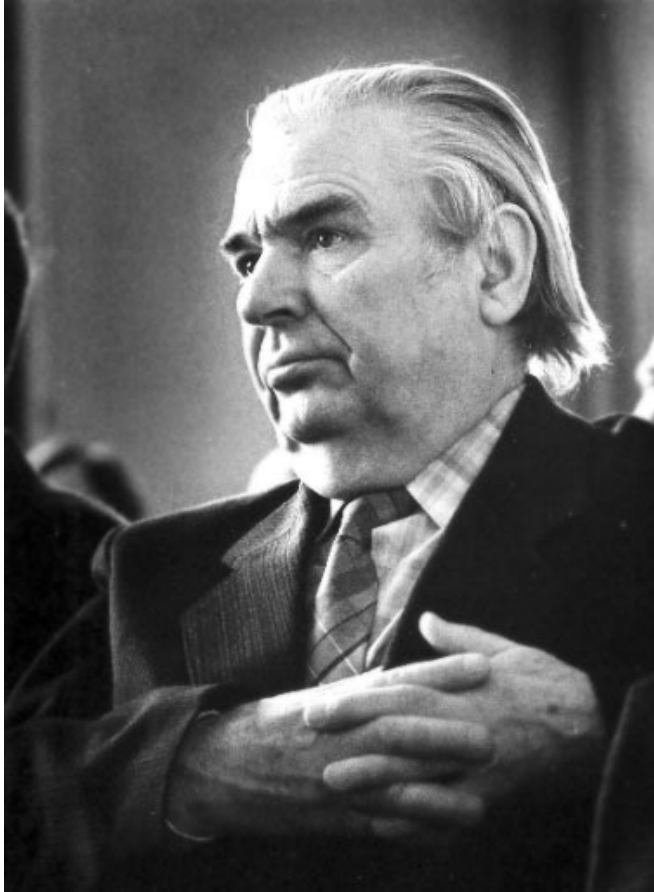
Масштабируемые проекционные методы в линейном программировании

Соколинский Леонид Борисович

Южно-Уральский государственный университет
(национальный исследовательский университет)

Челябинск

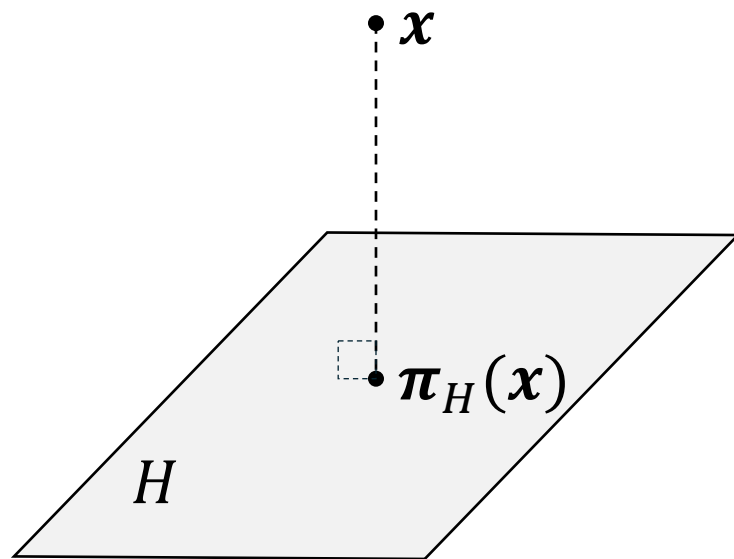
Истоки



1933 - 2013

- Академик РАН **Ерёмин Иван Иванович**
https://ru.wikipedia.org/wiki/Ерёмин,_Иван_Иванович
- Проект LiFe <http://life.susu.ru/>

Ортогональная проекция на гиперплоскость в \mathbb{R}^n



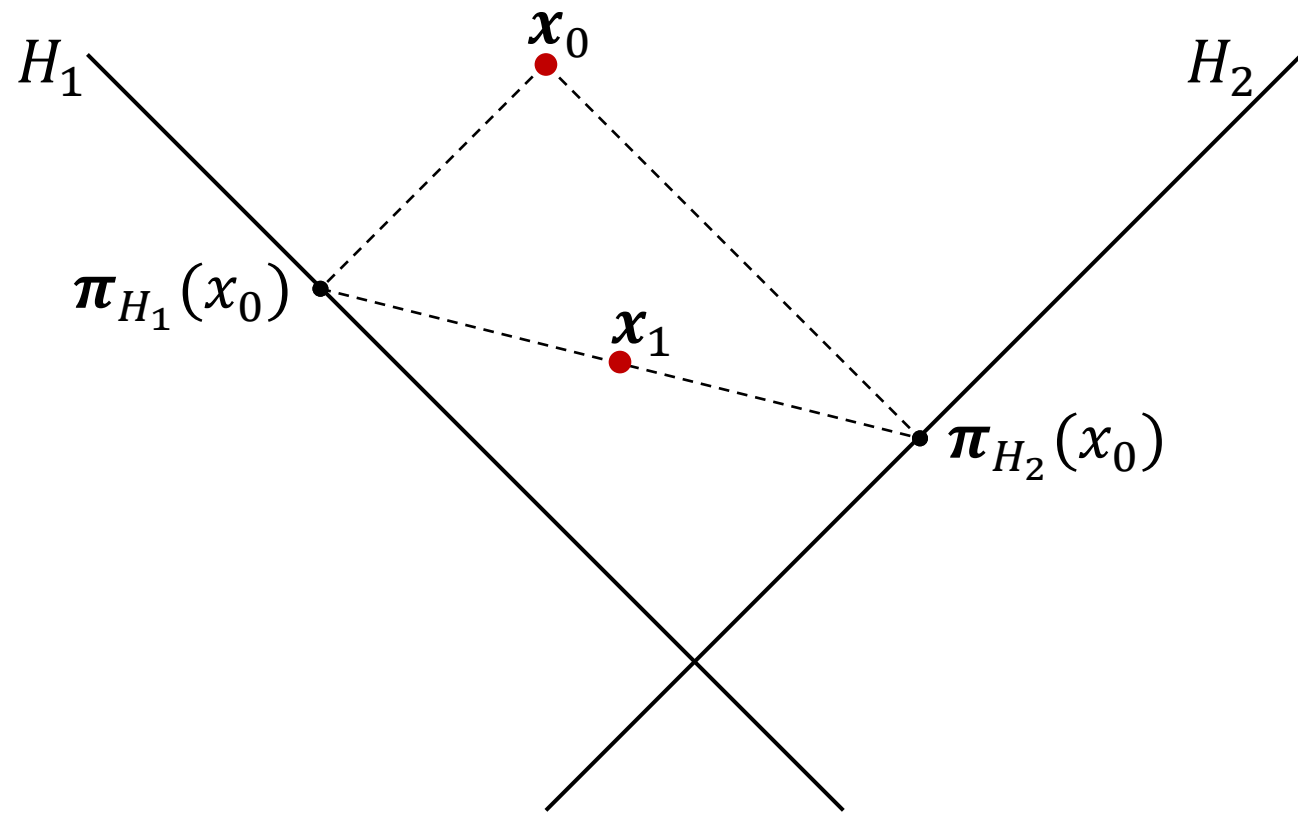
$$a_1x_1 + \dots + a_nx_n = b$$

$$\langle \mathbf{a}, \mathbf{x} \rangle = b$$

$$H = \{ \mathbf{x} \in \mathbb{R}^n \mid \langle \mathbf{a}, \mathbf{x} \rangle = b \}$$

$$\pi_H(\mathbf{x}) = \mathbf{x} - \frac{\langle \mathbf{a}, \mathbf{x} \rangle - b}{\|\mathbf{a}\|^2} \mathbf{a}$$

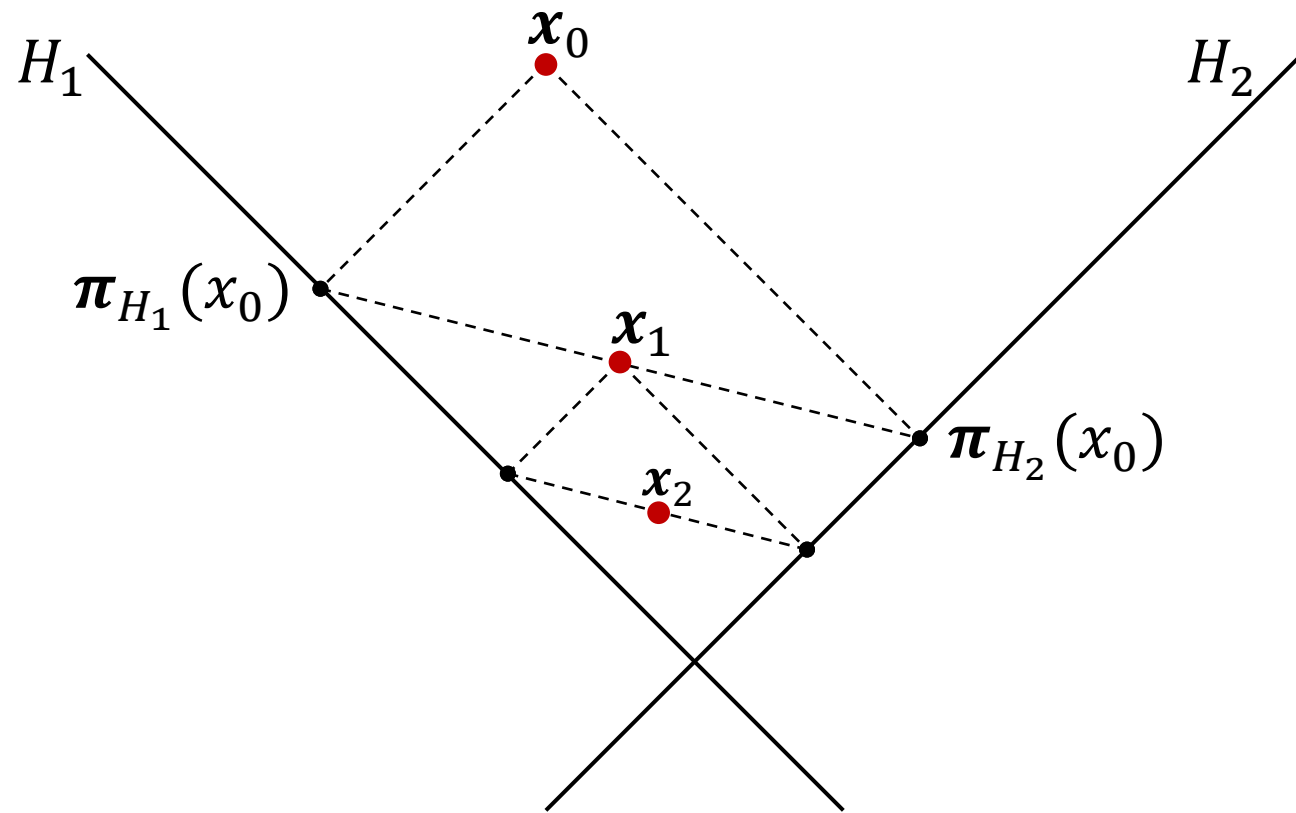
Идея проекционного метода



$$\varphi(x) = \frac{1}{2}(\pi_{H_1}(x) + \pi_{H_2}(x))$$

$$x_1 = \varphi(x_0)$$

Идея проекционного метода

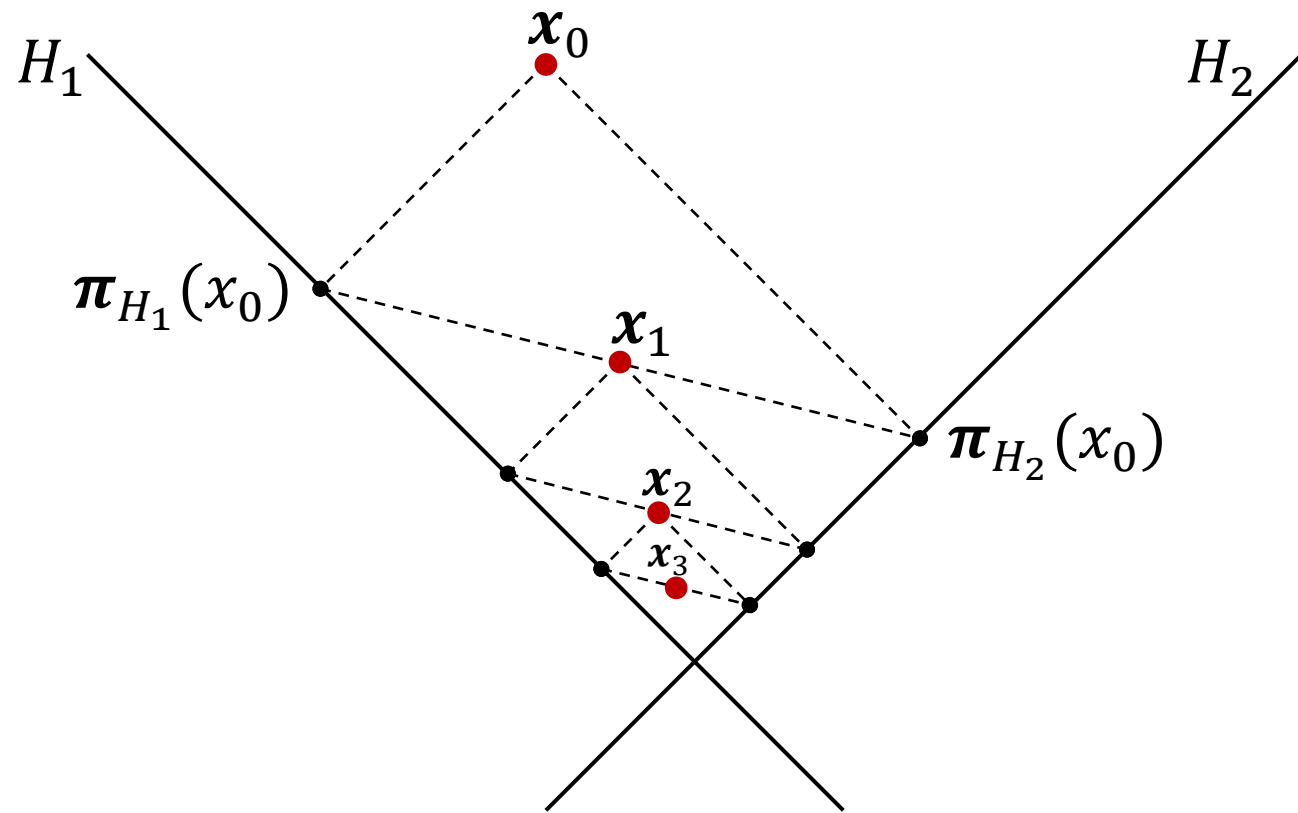


$$\varphi(x) = \frac{1}{2}(\pi_{H_1}(x) + \pi_{H_2}(x))$$

$$x_1 = \varphi(x_0)$$

$$x_2 = \varphi(x_1)$$

Идея проекционного метода



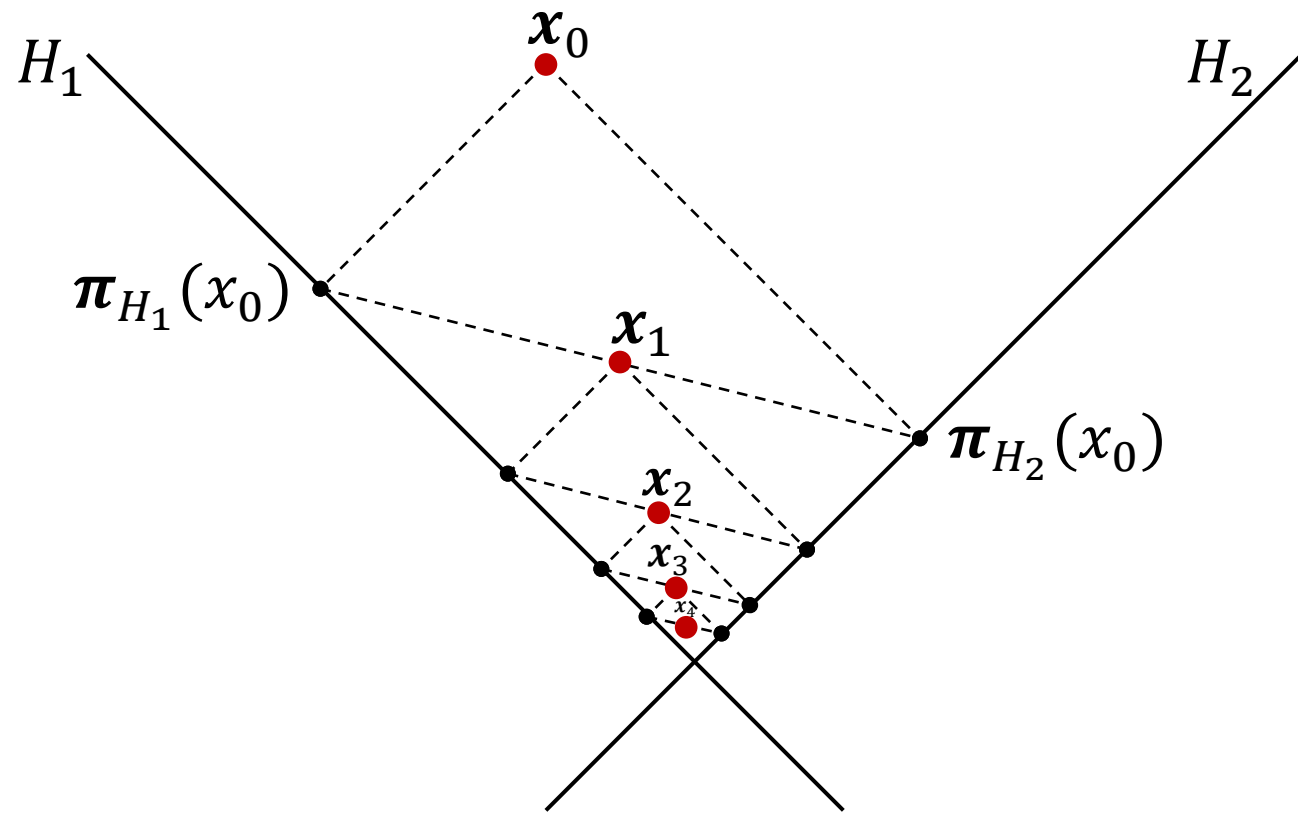
$$\varphi(x) = \frac{1}{2}(\pi_{H_1}(x) + \pi_{H_2}(x))$$

$$x_1 = \varphi(x_0)$$

$$x_2 = \varphi(x_1)$$

$$x_3 = \varphi(x_2)$$

Идея проекционного метода



$$\varphi(x) = \frac{1}{2}(\pi_{H_1}(x) + \pi_{H_2}(x))$$

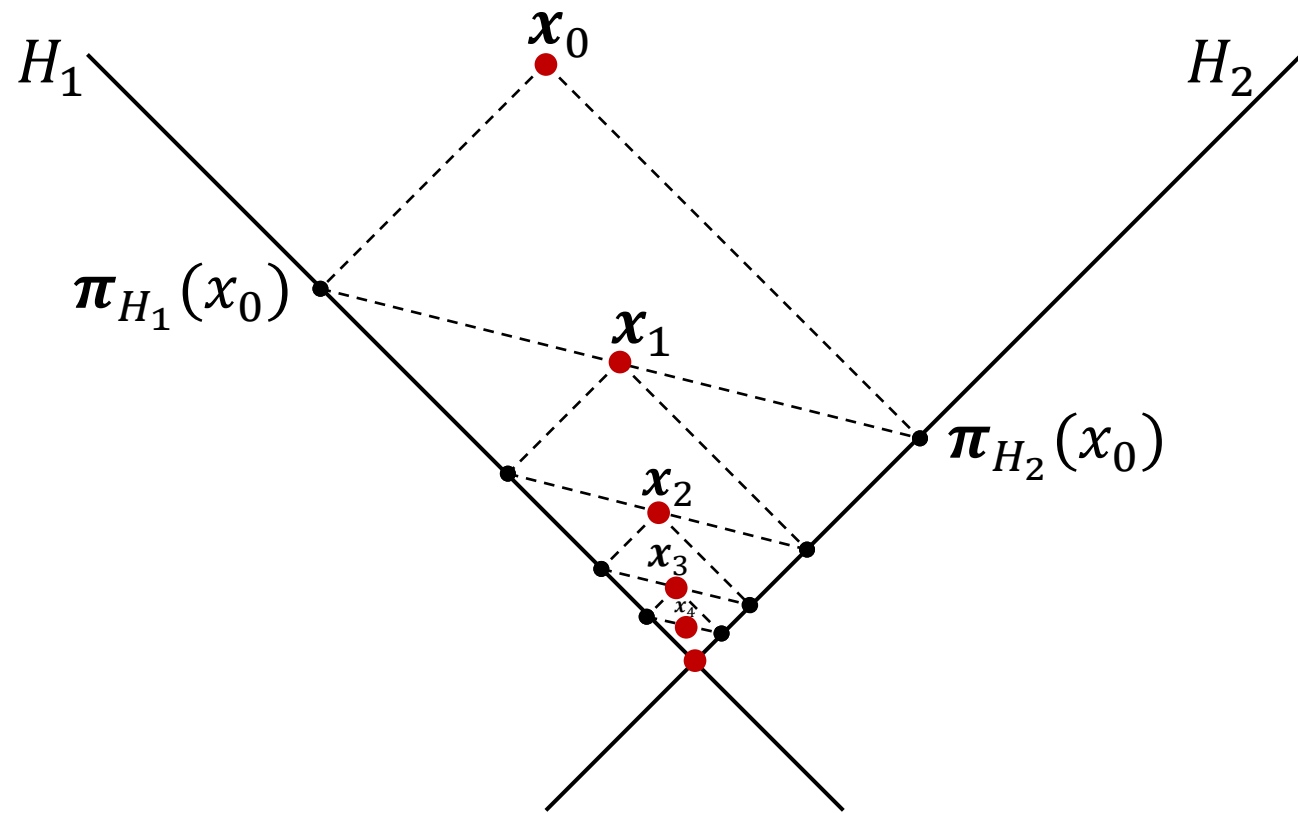
$$x_1 = \varphi(x_0)$$

$$x_2 = \varphi(x_1)$$

$$x_3 = \varphi(x_2)$$

$$x_4 = \varphi(x_3)$$

Идея проекционного метода



$$\varphi(x) = \frac{1}{2}(\pi_{H_1}(x) + \pi_{H_2}(x))$$

$$x_1 = \varphi(x_0)$$

$$x_2 = \varphi(x_1)$$

$$x_3 = \varphi(x_2)$$

$$x_4 = \varphi(x_3)$$

...

Решение системы линейных уравнений



Gianfranco Cimmino

Cimmino G. Calcolo approssimato per le soluzioni dei sistemi di equazioni lineari // La Ric. Sci. XVI, Ser. II, Anno IX, 1. 1938. P. 326–333.

$$Ax = b$$

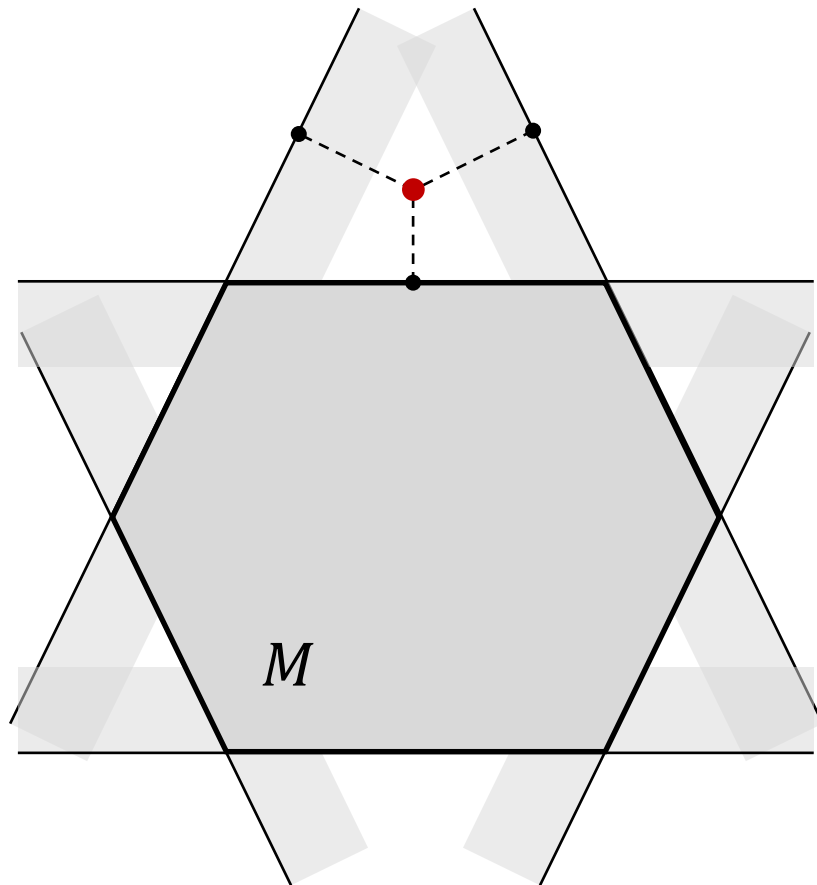
$$A \in \mathbb{R}^m \times \mathbb{R}^n, A = \begin{pmatrix} \mathbf{a}_1 \\ \vdots \\ \mathbf{a}_m \end{pmatrix}$$

$$\varphi(\mathbf{x}) = \mathbf{x} - \frac{1}{m} \sum_{i=1}^m \frac{\langle \mathbf{a}_i, \mathbf{x} \rangle - b_i}{\|\mathbf{a}_i\|^2} \mathbf{a}_i$$

$$\varphi^1(\mathbf{x}) = \varphi(\mathbf{x}); \quad \varphi^k(\mathbf{x}) = \varphi\left(\varphi^{k-1}(\mathbf{x})\right)$$

$$\boldsymbol{\eta}(\mathbf{x}) = \lim_{k \rightarrow \infty} \varphi^k(\mathbf{x})$$

Переход к линейным неравенствам



$$Ax \leq b$$

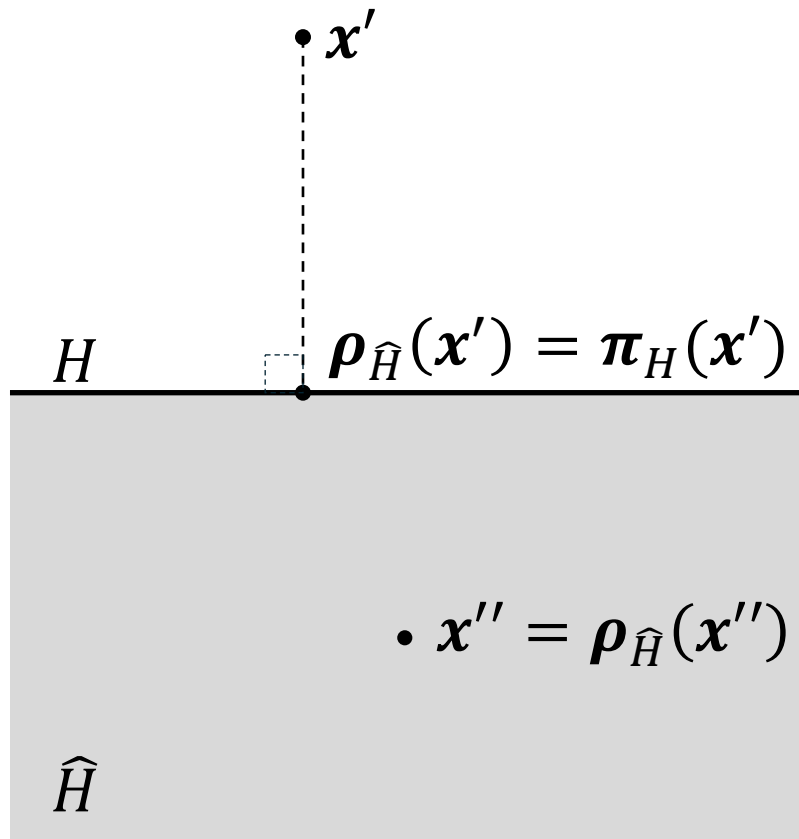
$$A \in \mathbb{R}^m \times \mathbb{R}^n, A = \begin{pmatrix} \mathbf{a}_1 \\ \vdots \\ \mathbf{a}_m \end{pmatrix}$$

$$\hat{H}_i = \{ \mathbf{x} \in \mathbb{R}^n \mid \langle \mathbf{a}_i, \mathbf{x} \rangle \leq b_i \}$$

$$H_i = \{ \mathbf{x} \in \mathbb{R}^n \mid \langle \mathbf{a}_i, \mathbf{x} \rangle = b_i \}$$

$$(i = 1, \dots, m)$$

Проекция точки на полупространство в \mathbb{R}^n



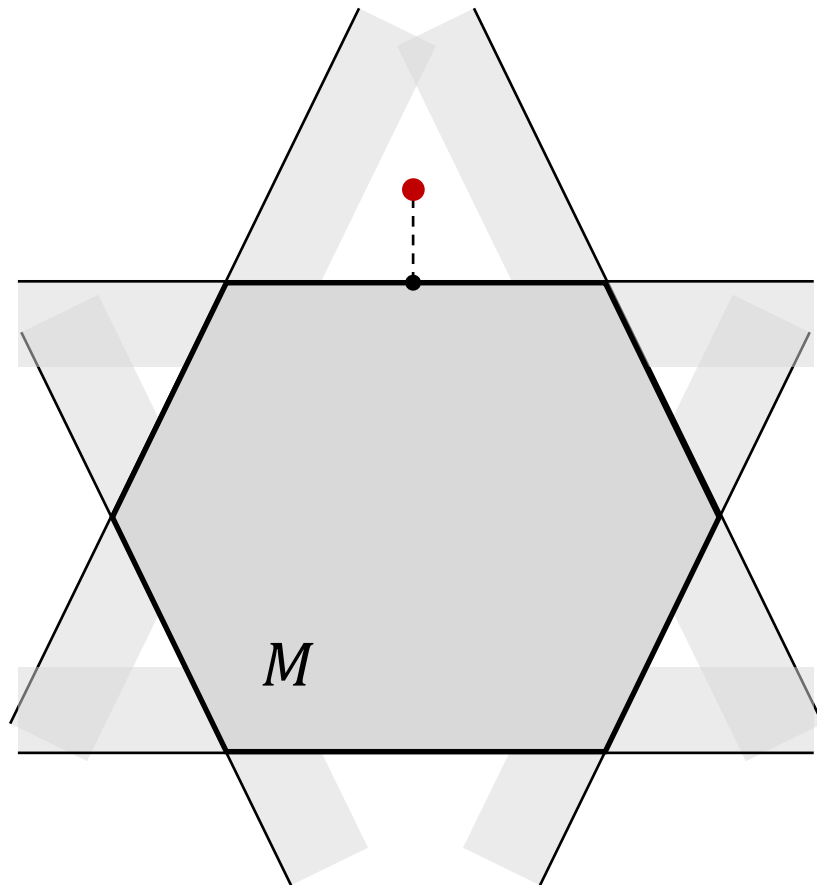
$$\hat{H} = \{x \in \mathbb{R}^n \mid \langle a, x \rangle \leq b\}$$

$$H = \{x \in \mathbb{R}^n \mid \langle a, x \rangle = b\}$$

$$\pi_H(x) = x - \frac{\langle a, x \rangle - b}{\|a\|^2} a$$

$$\rho_{\hat{H}}(x) = \begin{cases} \pi_H(x) & | x \notin \hat{H} \\ x & | x \in \hat{H} \end{cases}$$

Решение системы линейных неравенств



$$Ax \leq b$$

$$A \in \mathbb{R}^m \times \mathbb{R}^n, A = \begin{pmatrix} \mathbf{a}_1 \\ \vdots \\ \mathbf{a}_m \end{pmatrix}$$

$$\varphi(x) = x - \frac{1}{m} \sum_{i=1}^m \frac{\max(\langle \mathbf{a}_i, x \rangle - b_i)}{\|\mathbf{a}_i\|^2} \mathbf{a}_i$$

Псевдопроекция: $\eta_M(x) = \lim_{k \rightarrow \infty} \varphi^k(x)$

Применение к линейному программированию

$$\bar{x} = \arg \max \{f(x) | Ax \leq b\}$$

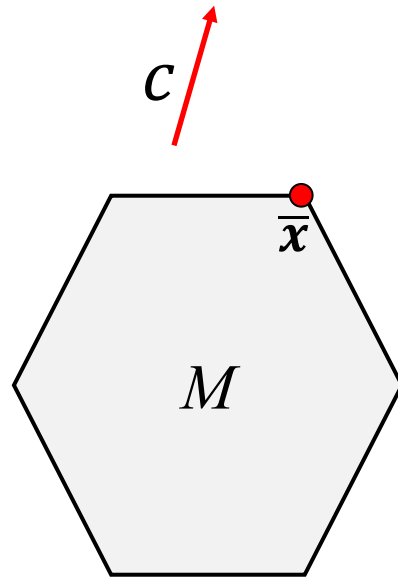
$$x \in \mathbb{R}^n$$

A – матрица $m \times n$

c, b – векторы размерности n

$f(x) = \langle c, x \rangle$ – целевая функция

$\langle c, x \rangle$ – скалярное произведение

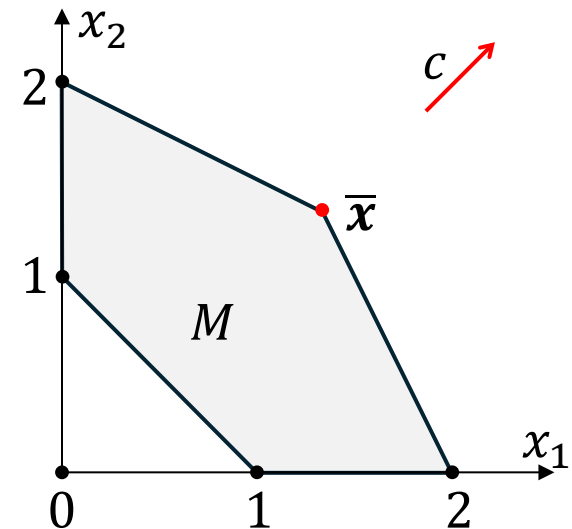


Допустимый многогранник: $M = \{x | Ax \leq b\}$

$$f(x_1, x_2) = x_1 + x_2 \rightarrow \max$$

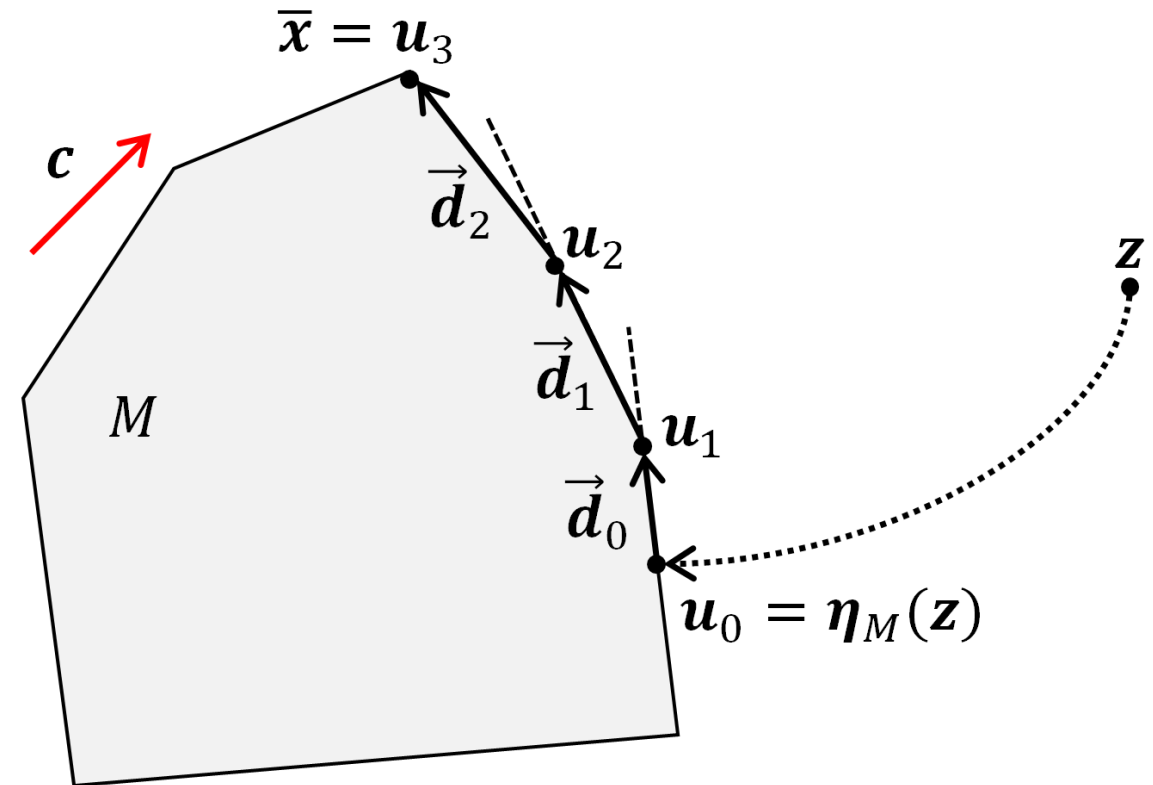
$$\begin{cases} x_1 + 2x_2 \leq 2 \\ 2x_1 + x_2 \leq 2 \\ x_1 + x_2 \geq 1 \\ x_1 \geq 0 \\ x_2 \geq 0 \end{cases}$$

$$c = (1; 1)$$



Апекс-метод

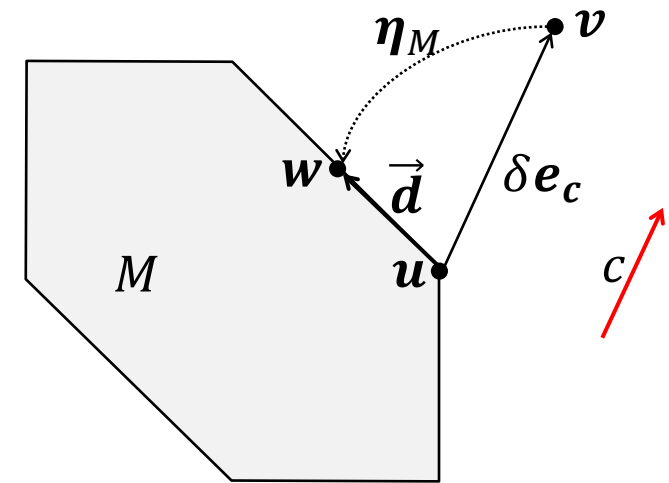
1. $\mathbf{u}_0 := \eta_M(\mathbf{z})$
2. $i := 0$
3. Вычисляем вектор $\vec{\mathbf{d}}_i$ направления движения в сторону увеличения целевой функции
4. **if** $\vec{\mathbf{d}}_i = \mathbf{0}$ **goto** 8
5. Двигаемся до \mathbf{u}_{i+1} – точки отрыва от поверхности допустимого многогранника M
6. $i := i + 1$
7. **goto** 3
8. **stop**



Вычисление вектора направления движения

1. $e_c := \frac{c}{\|c\|}$
2. $v := u + \delta e_c$
3. $w := \eta_M(v)$
4. **if** $\langle c, w \rangle \leq \langle c, u \rangle$ **goto** 7
5. $\vec{d} := w - u$
6. **goto** 8
7. $\vec{d} := \mathbf{0}$
8. **stop**

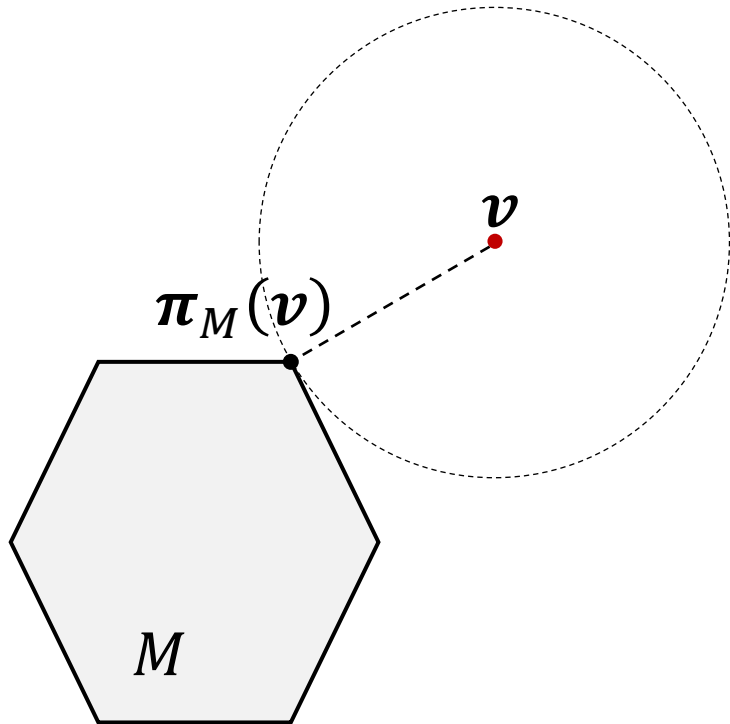
$$\delta > 0$$



Почему это работает

Метрическая проекция на
выпуклое замкнутое множество:

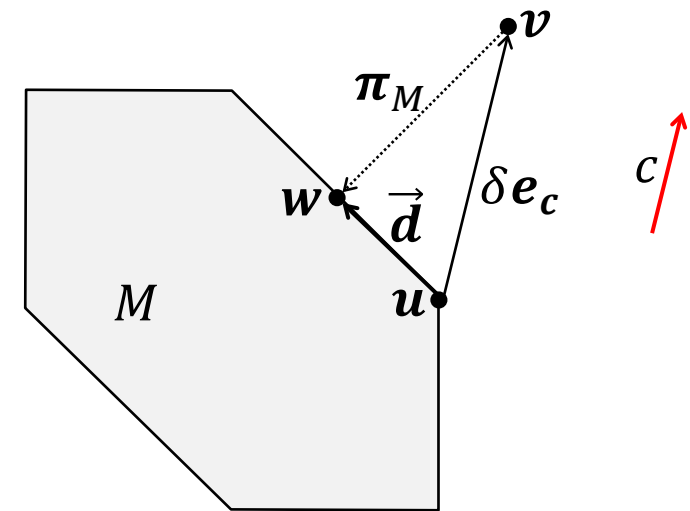
$$\pi_M(v) = \operatorname{Arg} \min_{x \in M} \|v - x\|$$



Утверждение 1. Если в апекс-методе заменить псевдопроекцию на метрическую проекцию, то итерационный процесс сходится за конечное число шагов к решению задачи ЛП

Утверждение 2.

$$\lim_{\delta \rightarrow 0} \|\pi_M(v) - \eta_M(v)\| = 0$$



Параллельная реализация апекс-метода

- Использован параллельный программный каркас BSF:
<https://github.com/leonid-sokolinsky/BSF-skeleton>
 - C++
 - MPI
- Исходные коды: <https://github.com/leonid-sokolinsky/Apex-method>

Характеристики вычислительного кластера «Торнадо ЮУрГУ»

| | |
|-------------------------------|-------------------------------------|
| Количество процессорных узлов | 480 |
| Процессоры | Intel Xeon X5680 (6 cores 3.33 GHz) |
| Количество процессоров в узле | 2 |
| Оперативная память узла | 24 GB DDR3 |
| Соединительная сеть | InfniBand QDR (40 Gbit/s) |
| Операционная система | Linux CentOS |

Масштабируемость апекс-метода

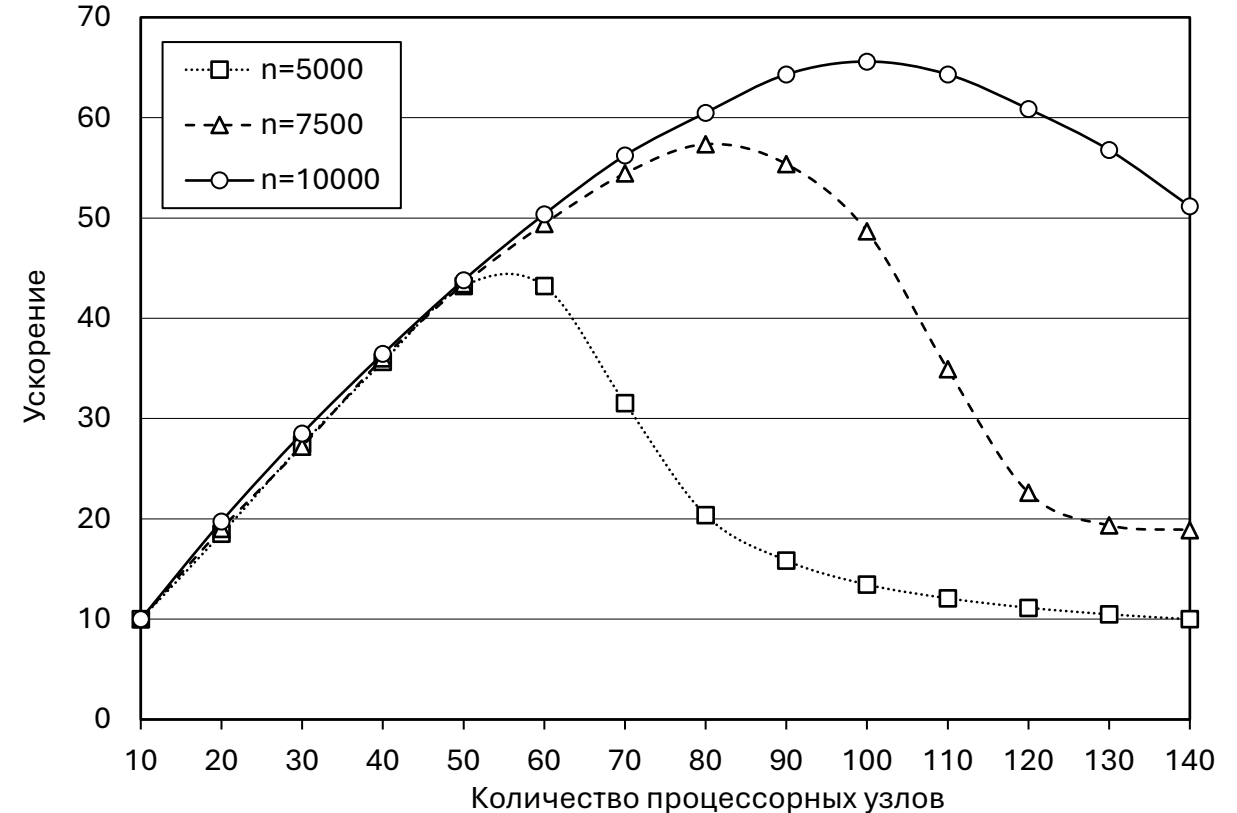
Масштабируемая задача ЛП

$$\begin{cases}
 x_0 & & & & \leq & 200 \\
 & x_1 & & & \leq & 200 \\
 & & \ddots & & \vdots & \dots \\
 & & & x_{n-1} & \leq & 200 \\
 x_0 + x_1 + \dots + x_{n-1} & \leq & 200(n-1) + 100 \\
 x_0 + x_1 + \dots + x_{n-1} & \geq & 100 \\
 x_0 & \geq & 0 \\
 & x_1 & \geq & 0 \\
 & & \ddots & \geq & \dots \\
 & & & x_{n-1} & \geq & 0
 \end{cases}$$

$$c = (10n, 10(n-1), 10(n-2), \dots, 10)$$

$$\bar{x} = (200, 200, \dots, 200, 100)$$

Графики ускорения

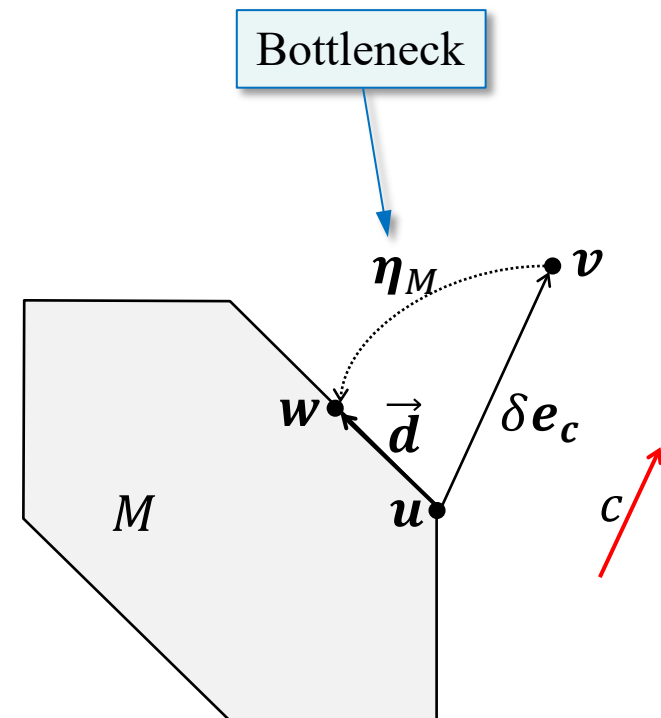


Задачи из NetLib-LP

| No | Задача | | | Апекс-метод | |
|----|----------|-------|----------|-----------------|----------------------|
| | Имя | Строк | Столбцов | Значение $f(x)$ | Относительная ошибка |
| 1 | ADLITTLE | 56 | 138 | -225713.24 | 9.68E-04 |
| 2 | AFIRO | 27 | 51 | 464.75 | 8.61E-09 |
| 3 | BLEND | 74 | 114 | 30.811018 | 3.19E-05 |
| 4 | FIT1D | 24 | 1 049 | 9146.37 | 8.77E-07 |
| 5 | KB2 | 43 | 68 | 1687.9152 | 3.54E-02 |
| 6 | RECIPE | 91 | 204 | 266.60404 | 2.23E-05 |
| 7 | SC50A | 50 | 78 | 64.568167 | 1.06E-04 |
| 8 | SC50B | 50 | 78 | 69.990792 | 1.32E-04 |
| 9 | SC105 | 105 | 163 | 51.838 | 6.97E-03 |
| 10 | SHARE2B | 96 | 102 | 415.72001 | 2.40E-05 |

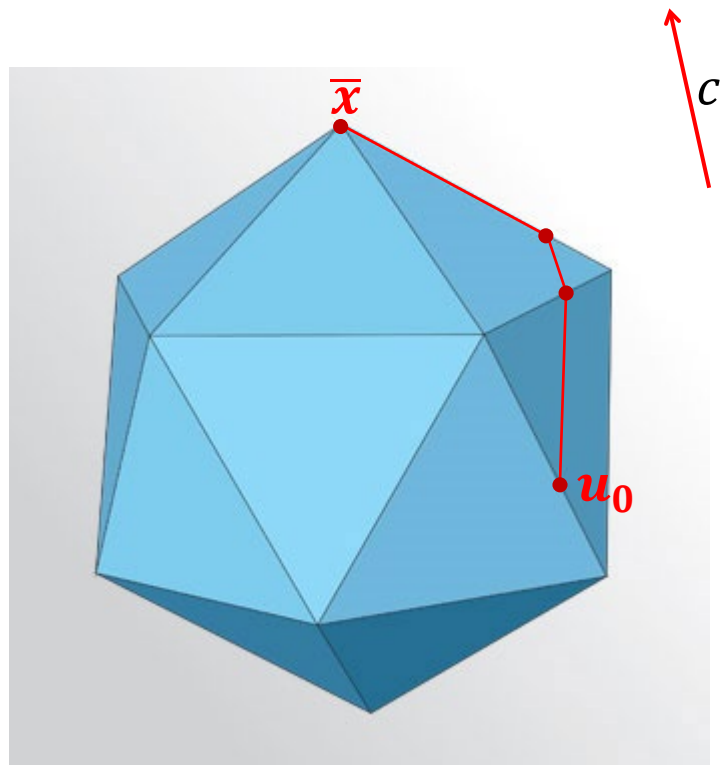
Медленная скорость сходимости процесса вычисления псевдопроекции

- Вычисление одного приближения u_i для задачи с $n = 10\,000$, $m = 20\,000$ заняло 44 минуты на 100 процессорных узлах
- 99% времени тратилось на вычисление псевдопроекции
- Скорость сходимости сильно зависит от угла между гиперплоскостями: при уменьшении угла скорость сходимости стремится к нулю

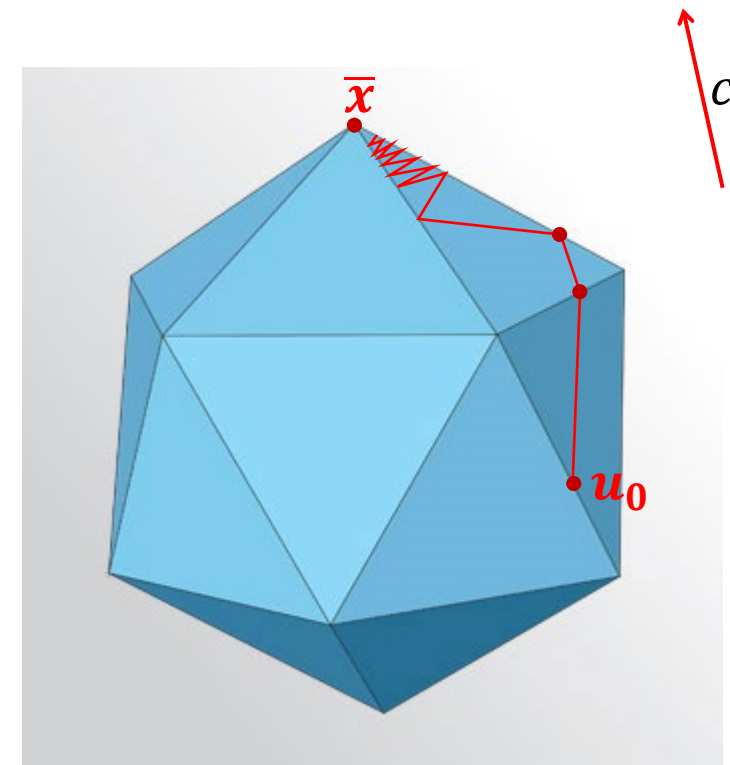


Нестандартное поведение вблизи решения

Метрическая проекция



Апекс-метод



Метод движения по граням SMM

- I_u – множество индексов всех гиперплоскостей H_i , проходящих через граничную точку u
- \mathfrak{J}_u – множество всех собственных подмножеств множества I_u
- Для каждого $\mathcal{J} \in \mathfrak{J}_u$ строим линейное многообразие

$$L := \bigcap_{i \in \mathcal{J}} H_i$$

- Строим псевдопроекцию на L и получаем единичный вектор \vec{d}_L
- Если \vec{d}_L выходит за пределы допустимого многогранника, переходим к следующему линейному многообразию
- В итоге выбираем \vec{d}_L , дающий максимальное приращение целевой функции

Алгоритм вычисления \vec{d}

1. $e_c := \frac{c}{\|c\|}$
2. $\vec{d} = 0$
3. $f = -\infty$
4. **for** $\mathcal{J} \in \mathfrak{J}_u$ **do**
5. $L := \bigcap_{i \in \mathcal{J}} H_i$
6. $v := u + \delta e_c$
7. $w := \eta_L(v)$
8. $d := w - u$
9. $e_d := \frac{d}{\|d\|}$
10. $u' := u + \varepsilon e_d$
11. **if** $u' \notin M$ **then**
12. **continue**
13. **end if**
14. **if** $\langle c, u' \rangle > f$ **then**
15. $\vec{d} = d$
16. $f = \langle c, u' \rangle$
17. **end if**
18. **end for**

Почему это работает

Утверждение 3. Псевдопроекция на линейное многообразие совпадает с ортогональной проекцией.

Параллельная реализация SMM

- Использован параллельный программный каркас BSF:
<https://github.com/leonid-sokolinsky/BSF-skeleton>
 - C++
 - MPI
- Исходные коды: <https://github.com/leonid-sokolinsky/BSF-Surface-movement-method>

Характеристики вычислительного кластера «Торнадо ЮУрГУ»

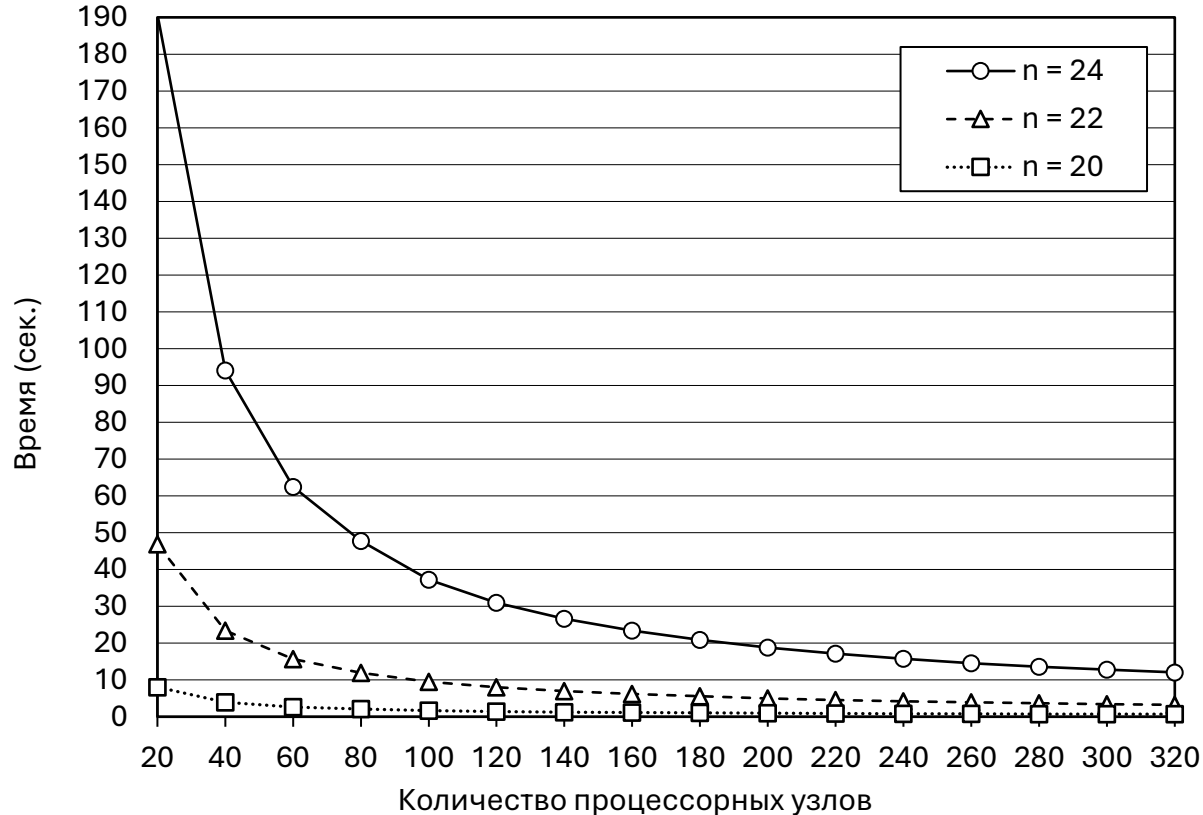
| | |
|-------------------------------|-------------------------------------|
| Количество процессорных узлов | 480 |
| Процессоры | Intel Xeon X5680 (6 cores 3.33 GHz) |
| Количество процессоров в узле | 2 |
| Оперативная память узла | 24 GB DDR3 |
| Соединительная сеть | InfniBand QDR (40 Gbit/s) |
| Операционная система | Linux CentOS |

Тестовый набор задач

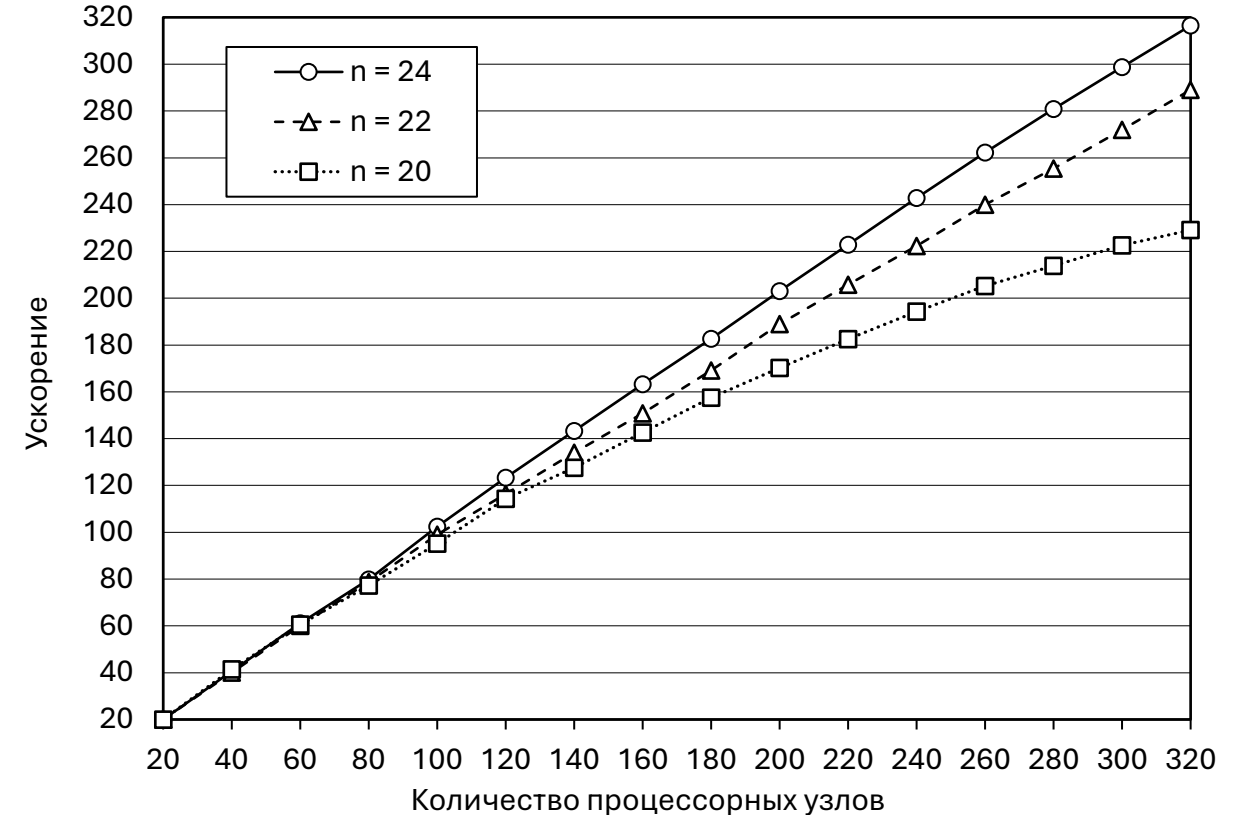
- Генератор случайных задач ЛП <https://github.com/leonid-sokolinsky/BSF-LPP-Generator>
- Набор сгенерированных задач: <https://github.com/leonid-sokolinsky/Random-LP-Problems>

Масштабируемость метода SMM

Время



Ускорение



Проблема комбинаторного взрыва

- Количество подмножеств множества из K элементов равно 2^K
- Если через точку проходит 30 гиперплоскостей, необходимо проверить $2^{30} - 2 = 1\,073\,741\,822$ линейных многообразий
- Если через точку проходит 40 гиперплоскостей, необходимо проверить $2^{40} - 2 = 1\,099\,511\,627\,774$ линейных многообразий

Метод движения по ребрам ЕММ

- I_u – множество индексов всех гиперплоскостей H_i , проходящих через точку u , являющуюся вершиной допустимого многогранника M : $|I_u| \geq n$
- \mathfrak{C}_u – множество сочетаний $(n - 1)$ элементов из $k = |I_u|$ элементов всех собственных подмножеств множества I_u
- Для всех $\mathcal{J} \in \mathfrak{C}_u$ строим прямую

$$L := \bigcap_{i \in \mathcal{J}} H_i$$

- Строим псевдопроекцию на L и получаем единичный вектор \vec{d}_L
- Если \vec{d}_L выходит за пределы допустимого многогранника, переходим к следующей прямой
- Выбираем \vec{d}_L , дающий максимальное приращение целевой функции

Алгоритм вычисления \vec{d}

1. $e_c := \frac{c}{\|c\|}$
2. $\vec{d} = 0$
3. $f = -\infty$
4. **for** $\mathcal{J} \in \mathfrak{C}_u$ **do**
5. $L := \bigcap_{i \in \mathcal{J}} H_i$
6. $v := u + \delta e_c$
7. $w := \eta_L(v)$
8. $d := w - u$
9. $e_d := \frac{d}{\|d\|}$
10. $u' := u + \varepsilon e_d$
11. **if** $u' \notin M$ **then**
12. **continue**
13. **end if**
14. **if** $\langle c, u' \rangle > f$ **then**
15. $\vec{d} = d$
16. $f = \langle c, u' \rangle$
17. **end if**
18. **end for**

Параллельная реализация SMM

- Использован параллельный программный каркас BSF:
<https://github.com/leonid-sokolinsky/BSF-skeleton>
 - C++
 - MPI
- Исходные коды: <https://github.com/leonid-sokolinsky/BSF-EMM>

Характеристики вычислительного кластера «Торнадо ЮУрГУ»

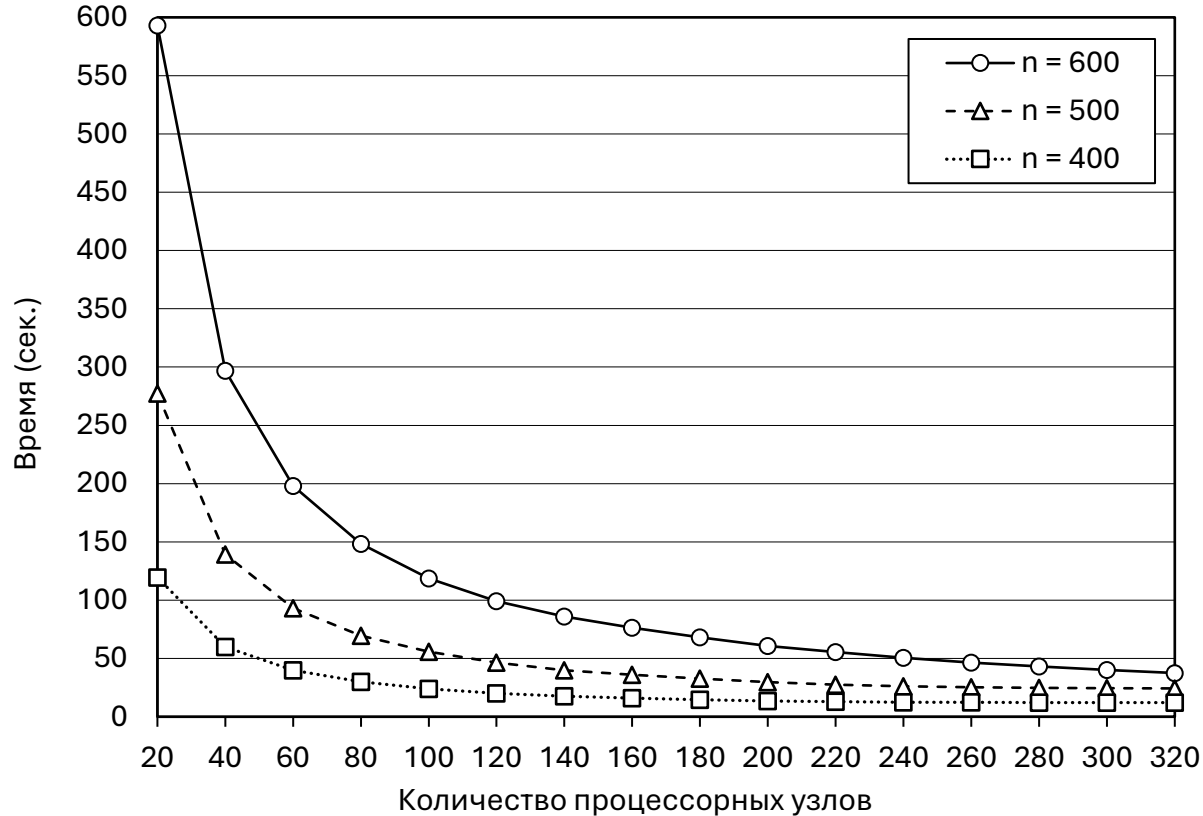
| | |
|-------------------------------|-------------------------------------|
| Количество процессорных узлов | 480 |
| Процессоры | Intel Xeon X5680 (6 cores 3.33 GHz) |
| Количество процессоров в узле | 2 |
| Оперативная память узла | 24 GB DDR3 |
| Соединительная сеть | InfniBand QDR (40 Gbit/s) |
| Операционная система | Linux CentOS |

Тестовый набор задач

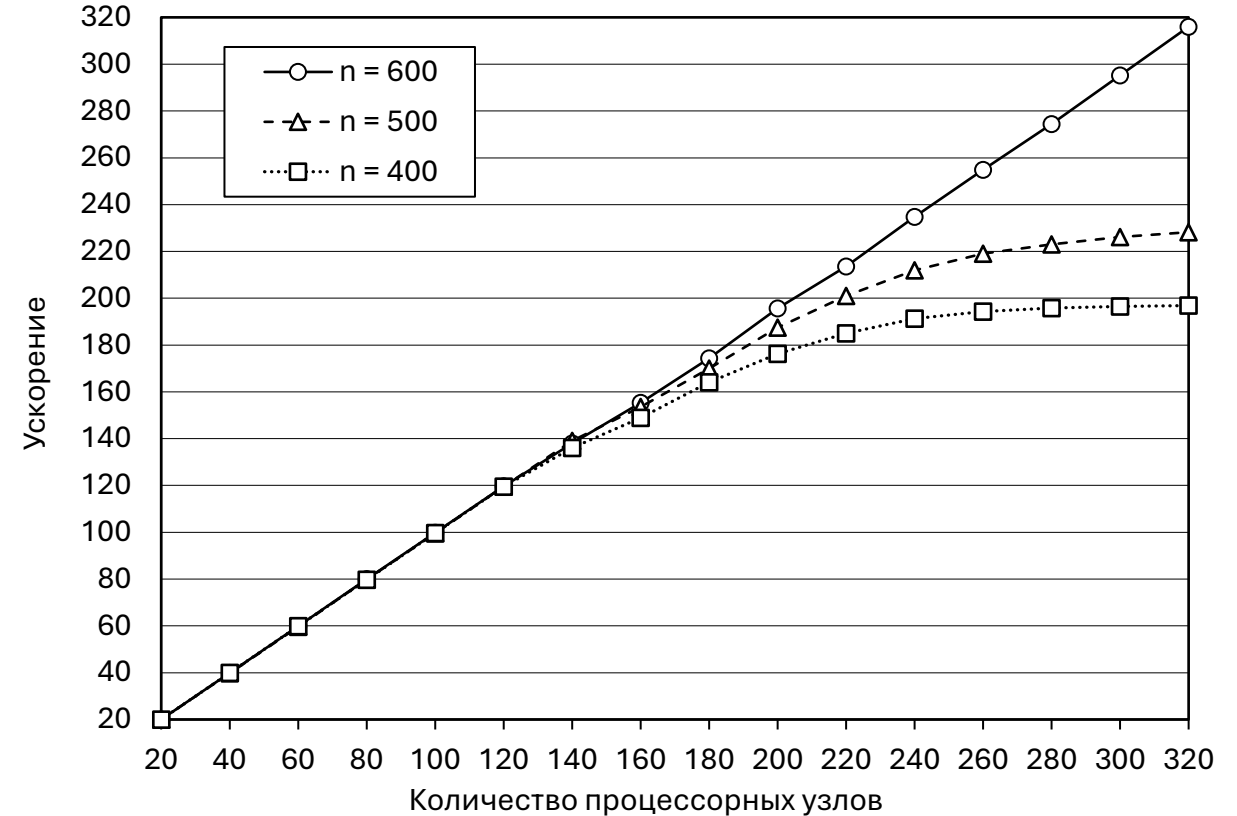
- Генератор случайных задач ЛП <https://github.com/leonid-sokolinsky/BSF-LPP-Generator>
- Набор сгенерированных задач: <https://github.com/leonid-sokolinsky/Random-LP-Problems>

Масштабируемость метода EMM

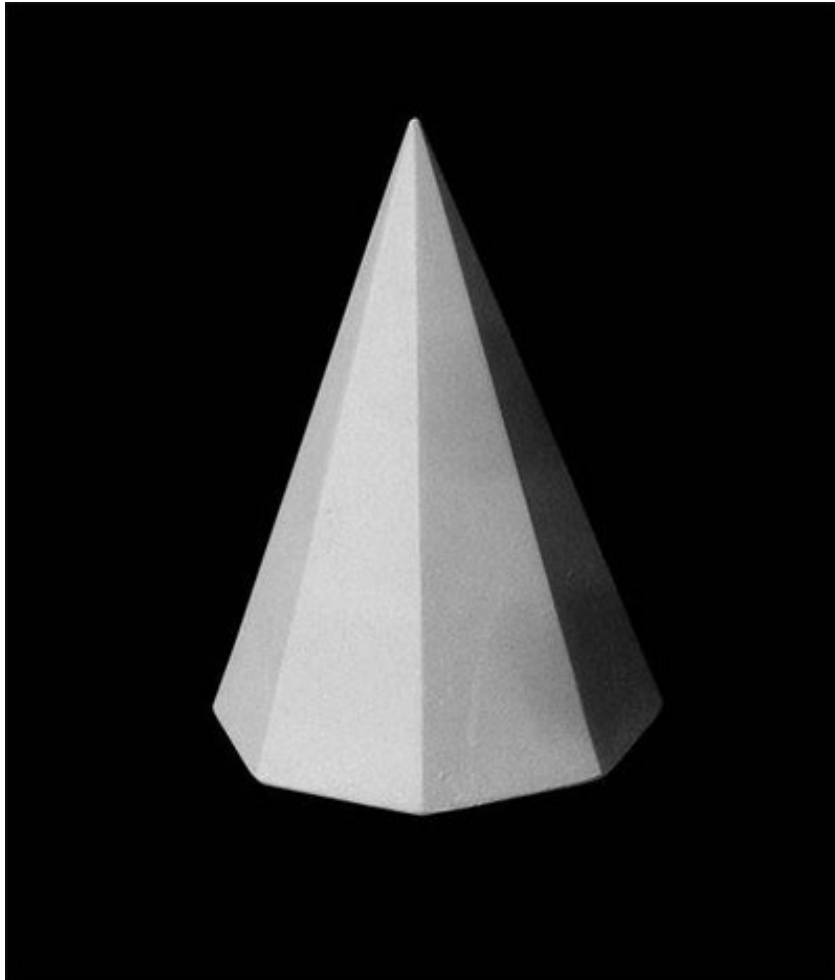
Время



Ускорение



Проблема комбинаторного взрыва



- Через точку проходит $2n$ гиперплоскостей
- Количество ребер при $n = 20$ равно 137 846 528 820
- Количество ребер при $n = 30$ равно 118 264 581 564 861 424

Направления будущих исследований

- Стохастический метод EMM
- Использование искусственных нейронных сетей

Спасибо за внимание!